

- 结构坚固
- 抓取力达 700 N
- 抓取力可保持，性能可靠
- 通过使用密封空气防飞溅

T型沟槽气爪 HGPT

主要特性一览

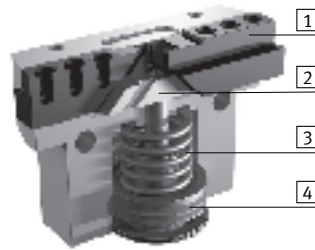
概况一览

直线运动产生的力通过楔形机械装置（具有控制动作顺序的功能）使气爪夹头运动。这也确保了气爪夹头的同步运动。使用磨合的气爪夹头可实现滑道无间隙。

应用范围广：

- 双作用气爪
- 压缩弹簧，用于补充或保持抓取力
- 用作只有一个气接口的单作用气爪
- 适用于外部和内部抓取

气爪合拢



气爪打开

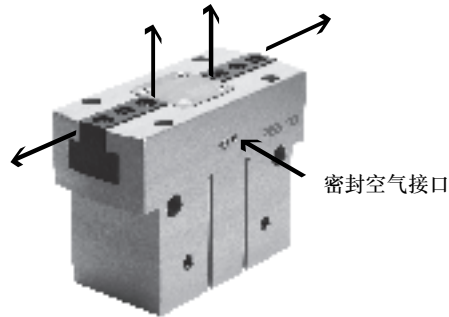


- 1 气爪夹头
- 2 楔，带限制导向

- 3 弹簧
- 4 带磁体的活塞

密封空气接口

密封空气(最大0.5 bar)接通时，压缩空气流经气爪夹头。这样可防止微粒、可溶性切削油等进入气爪夹头导向装置。



多种气源连接方式

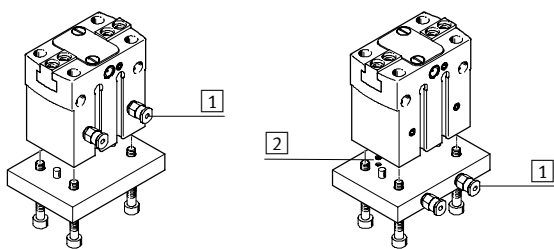
直接连接
从前面

通过连接板
从下面

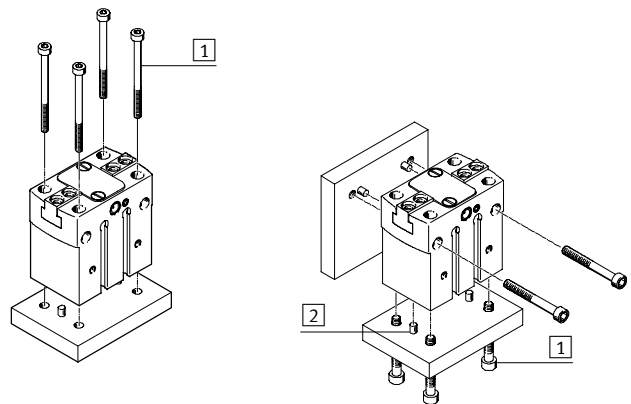
安装方式

直接安装
从上面

从上面和从侧面



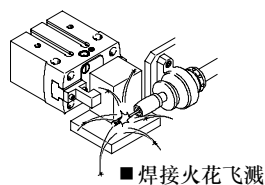
- 1 压缩空气接口
- 2 O形圈



- 1 安装螺钉
- 2 定位销

注意

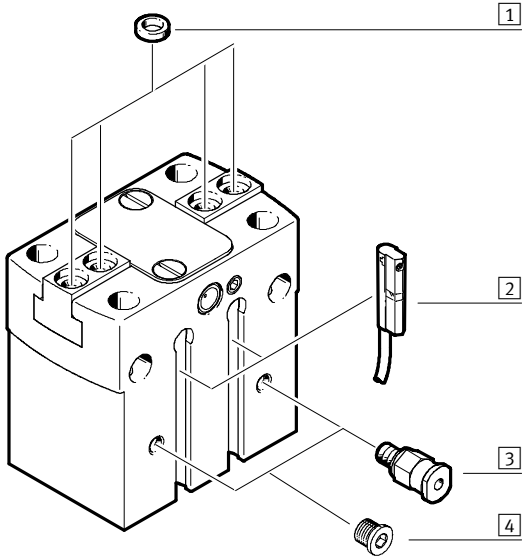
密封空气装置可以使T型沟槽气爪适用于下列应用场合：



T型沟槽气爪 HGPT

外围元件一览和型号代码

外围元件一览



附件

| 型号 | 简要说明 | → 页码 |
|------------------------|---------------------------------|------------|
| 1 定位套 ZBH | 安装气爪手指时用于固定 | 1 / 7.7-15 |
| 2 接近传感器 SME-/SMT-10 | 用于感测活塞位置 | 1 / 7.7-15 |
| 3 快插接头 QS | 用于连接具有标准外径（符合CEIOP RP54 P标准）的气管 | 第3册 |
| 4 堵头 B | 使用前面气接口时用于密封另一个压缩空气接口 | 1 / 7.7-15 |
| - | 驱动器/气爪组合 | 第 5 册 |

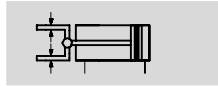
型号代码

| | |
|--------------------------------------|---------|
| HGPT - 16 - A - G1 | |
| 型号 | |
| HGPT | T型沟槽气爪 |
| 活塞直径 \varnothing | |
| 位置感测 | |
| A | 通过接近传感器 |
| 抓取力保持 | |
| G1 | 打开 |
| G2 | 合拢 |

T型沟槽气爪 HGPT

技术参数

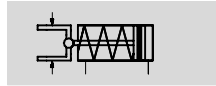
功能
双作用
HGPT-...A



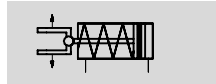
○ 活塞直径Ø
16 ... 63 mm

┆ 行程长度
6 ... 32 mm

派生型
单作用或
具有抓取力保持功能...
... 打开 HGPT-...G1



... 合拢 HGPT-...G2



| 主要技术参数 | | | | | | | |
|------------------------------------|-----------------------|----|--------|----|--------|------|------|
| 活塞直径Ø | 16 | 20 | 25 | 35 | 40 | 50 | 63 |
| 结构特点 | 楔形机械装置 导向动作顺序 | | | | | | |
| 操作模式 | 双作用 | | | | | | |
| 气爪功能 | 平行 | | | | | | |
| 气爪夹头数量 | 2 | | | | | | |
| 每一个外部气爪手指的最大应用负载 ¹⁾ [N] | 0.5 | 1 | 1.5 | 2 | 2.5 | 3 | 4 |
| 每个气爪夹头的行程 [mm] | 3 | 4 | 6 | 8 | 10 | 12 | 16 |
| 气接口 | M3 | M3 | M5 | M5 | M5 | G1/8 | G1/8 |
| 气接口, 用于密封空气 | M3 | M3 | M5 | M5 | M5 | M5 | M5 |
| 重复精度 ²⁾ [mm] | < 0.03 | | < 0.04 | | < 0.05 | | |
| 最大互换性 [mm] | 0.2 | | | | | | |
| 最大气爪夹头偏置 [mm] | 0.02 | | | | | | |
| 最大气爪夹头角度偏置 [°] | 0.1 | | | | | | |
| 最大工作频率 [Hz] | 3 | | | | 2 | | |
| 旋转对称性 [mm] | < Ø0.2 | | | | | | |
| 位置感测 | 通过接近传感器 | | | | | | |
| 安装型式 | 通过通孔和定位销 通过内螺纹和定位销 | | | | | | |
| 安装位置 | 任意 | | | | | | |
| 工作介质 | 过滤压缩空气, 润滑或未润滑 | | | | | | |
| 导向装置的润滑间隔时间 | 每五百万次循环周期 | | | | | | |

- 1) 对未节流操作有效。
2) 在恒定条件下连续朝气爪夹头运动方向工作100个行程时终端位置的变化量。

| 工作和环境条件 | | | | | | | |
|-------------------------|---|----|----|----|----|----|----|
| 活塞直径Ø | 16 | 20 | 25 | 35 | 40 | 50 | 63 |
| 最小工作压力 | HGPT-...A [bar] 3 HGPT-...G... [bar] 5 | | | | | | |
| 最大工作压力 | [bar] 8 | | | | | | |
| 环境温度 ¹⁾ [°C] | +5 ... +60 | | | | | | |
| 耐腐蚀等级 CRC ²⁾ | 2 | | | | | | |

- 1) 注意接近传感器的工作范围。
2) 耐腐蚀等级 2, 符合Festo 940 070标准
元件必须具备一定的耐腐蚀能力。外部可视元件具备基本的涂层表面, 可直接与工业环境或与冷却液、润滑剂等介质接触。

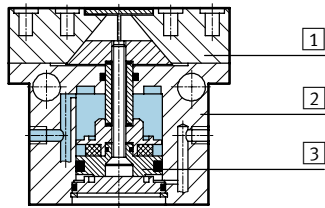
T型沟槽气爪 HGPT

技术参数

| 重量 [g] | | | | | | | |
|--------------------|-----|-----|-----|-----|-------|-------|-------|
| 活塞直径 \varnothing | 16 | 20 | 25 | 35 | 40 | 50 | 63 |
| HGPT...A | 102 | 183 | 361 | 625 | 1 209 | 1 984 | 3 633 |
| HGPT...G1 | 104 | 186 | 371 | 645 | 1 252 | 2 102 | 3 763 |
| HGPT...G2 | 104 | 186 | 371 | 645 | 1 252 | 2 102 | 3 763 |

材料

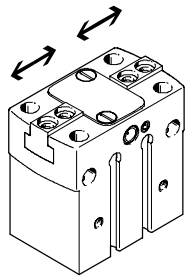
剖面图



气爪

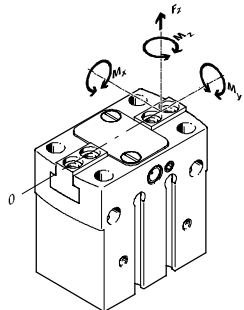
| | | |
|---|--------|---------------|
| 1 | 气爪夹头 | 硬化钢 |
| 2 | 壳体 | 铝, 涂层为ComCote |
| 3 | 活塞 | 青铜 |
| - | 密封 | 丁腈橡胶 |
| | 材料注意事项 | 不含铜和聚四氟乙烯 |

6 bar时的理论抓取力 [N]



| 活塞直径 \varnothing | 16 | 20 | 25 | 35 | 40 | 50 | 63 |
|--------------------|----|-----|-----|-----|-----|-----|-------|
| 打开 | 72 | 112 | 176 | 345 | 449 | 702 | 1 114 |
| 合拢 | 62 | 102 | 158 | 310 | 409 | 647 | 1 043 |

气爪夹头上的特性负载值



表明作用在单个气爪夹头上的许用力和力矩。静态力和力矩与由工件或外部气爪手指产生的附加

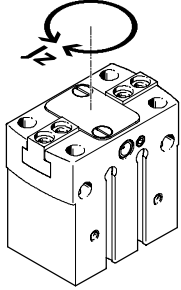
应用负载相关，也与抓取力有关。计算力矩时必须考虑零坐标线(气爪夹头旋转点)。

| 活塞直径 \varnothing | 16 | 20 | 25 | 35 | 40 | 50 | 63 | |
|--------------------|------|-----|-----|-----|-----|-------|-------|-------|
| 最大许用力 F_z | [N] | 200 | 300 | 500 | 900 | 1 500 | 2 500 | 4 000 |
| 最大许用力矩 M_x | [Nm] | 10 | 15 | 30 | 50 | 80 | 100 | 140 |
| 最大许用力矩 M_y | [Nm] | 7 | 10 | 25 | 40 | 60 | 90 | 120 |
| 最大许用力矩 M_z | [Nm] | 5 | 8 | 15 | 30 | 40 | 60 | 80 |

T型沟槽气爪 HGPT

技术参数

转动惯量 [kgm²x10⁻⁴]



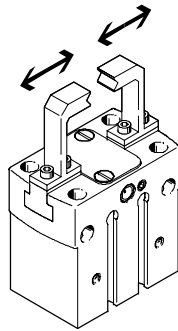
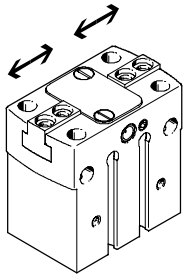
T型沟槽气爪（不带负载）的转动惯量 [kgm²x10⁻⁴] 与中心轴有关。

| 活塞直径 Ø | 16 | 20 | 25 | 35 | 40 | 50 | 63 |
|-----------|-------|-------|-------|-------|-------|--------|--------|
| HGPT...A | 0.177 | 0.391 | 1.263 | 3.383 | 9.673 | 25.147 | 74.991 |
| HGPT...G1 | 0.178 | 0.392 | 1.272 | 3.411 | 9.786 | 25.460 | 75.409 |
| HGPT...G2 | 0.178 | 0.392 | 1.272 | 3.411 | 9.786 | 25.460 | 75.409 |

6bar时的打开和合拢时间 [ms]

不带外部气爪手指

带外部气爪手指



所示的打开和合拢时间 [ms]是在室温和 6 bar 工作压力下，水平安装，不带外部气爪手指的情况

下测量的。应用更大负载时，必须对气爪进行节流。然后根据下表调节打开和合拢时间。

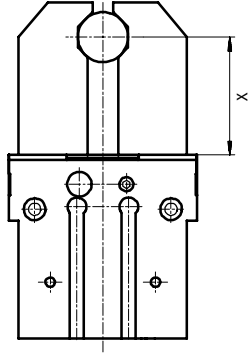
| 活塞直径 Ø | | 16 | 20 | 25 | 35 | 40 | 50 | 63 |
|-------------------------|------|-----|-----|-----|-----|-----|-----|-----|
| 不带附加气爪手指 | | | | | | | | |
| HGPT...A | 打开 | 20 | 31 | 30 | 40 | 66 | 85 | 150 |
| | 合拢 | 21 | 31 | 33 | 40 | 61 | 76 | 135 |
| HGPT...G1 | 打开 | 10 | 26 | 30 | 39 | 57 | 65 | 123 |
| | 合拢 | 44 | 51 | 64 | 92 | 130 | 150 | 282 |
| HGPT...G2 | 打开 | 41 | 52 | 50 | 78 | 100 | 130 | 260 |
| | 合拢 | 21 | 31 | 30 | 39 | 61 | 70 | 130 |
| 带附加气爪手指时和应用负载的关系 | | | | | | | | |
| HGPT... | 1 N | 100 | - | - | - | - | - | - |
| | 2 N | 200 | 150 | 100 | - | - | - | - |
| | 3 N | 300 | 250 | 200 | 150 | 100 | - | - |
| | 4 N | - | 350 | 300 | 250 | 200 | 150 | - |
| | 5 N | - | - | 400 | 350 | 300 | 250 | 200 |
| | 6 N | - | - | - | 450 | 400 | 300 | 250 |
| | 8 N | - | - | - | - | - | 450 | 400 |
| | 10 N | - | - | - | - | - | - | 500 |

T型沟槽气爪 HGPT

技术参数

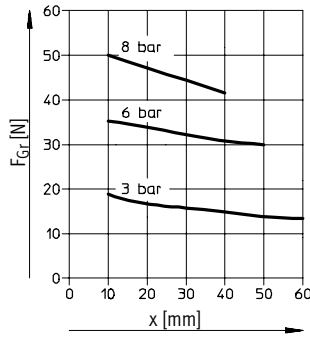
抓取力 F_{Gr} 和工作压力及力臂长度 x 的关系

不同规格产品的抓取力与工作压力及力臂长度的关系可以由下图确定。

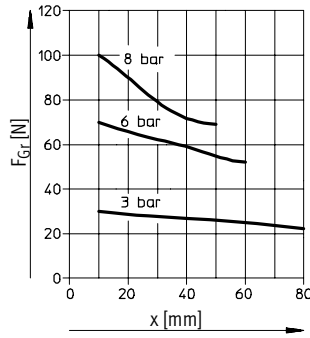


作为外部气爪: 合拢操作

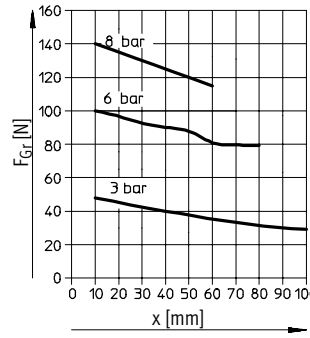
HGPT-16-A



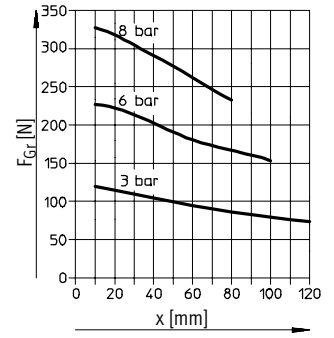
HGPT-20-A



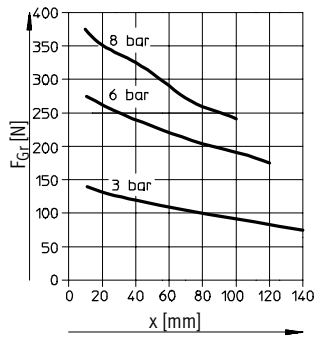
HGPT-25-A



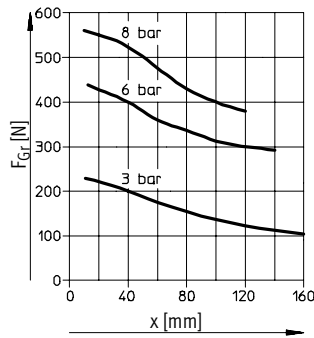
HGPT-35-A



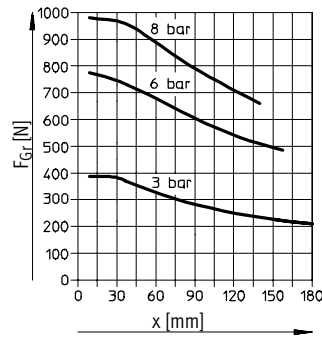
HGPT-40-A



HGPT-50-A



HGPT-63-A

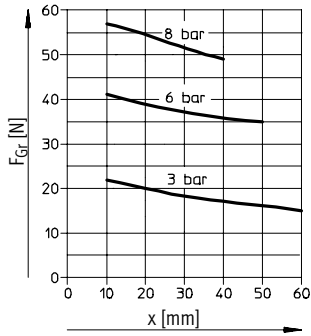


T型沟槽气爪 HGPT

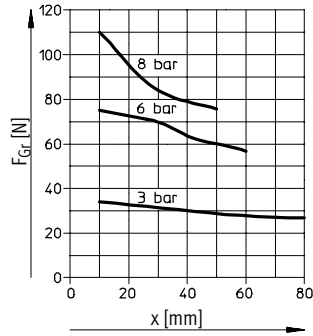
技术参数

抓取力 F_{Gr} 和工作压力及力臂长度 x 的关系
作为内部气爪: 打开操作

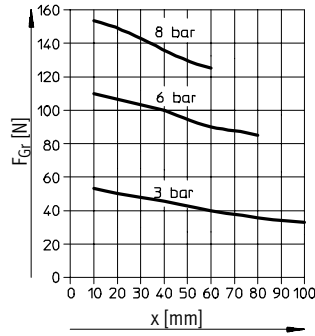
HGPT-16-A



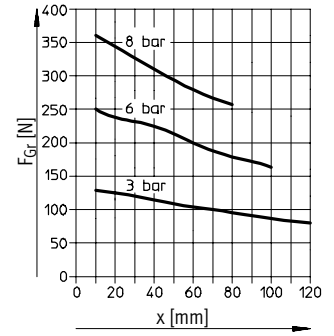
HGPT-20-A



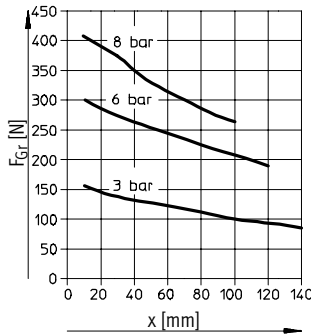
HGPT-25-A



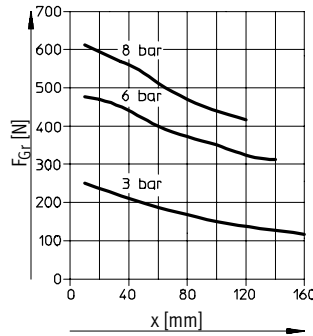
HGPT-35-A



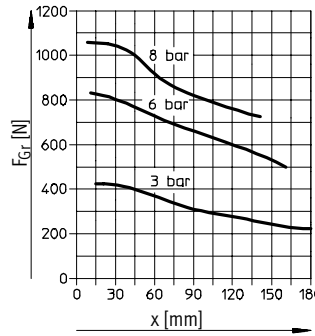
HGPT-40-A



HGPT-50-A



HGPT-63-A



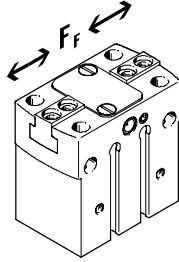
T型沟槽气爪 HGPT

技术参数

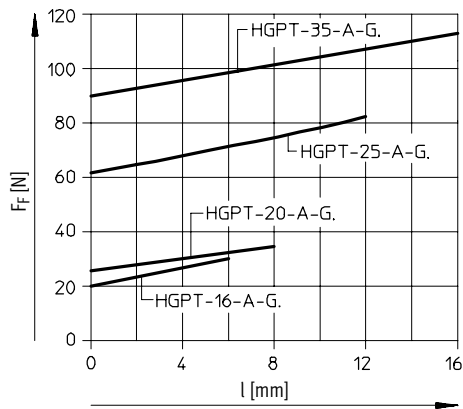
弹簧力 F_S 与气爪规格及总行程长度 l 的关系

气爪力保持, 用于 HGPT-...-G...

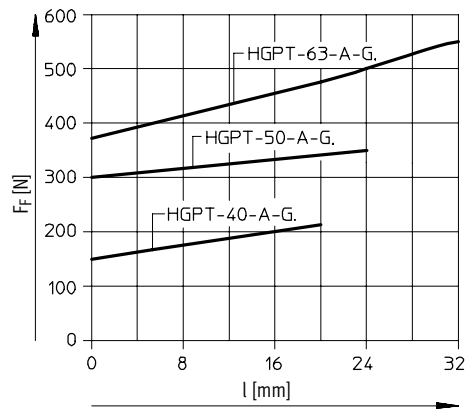
不同气爪型号(HGPT-...-G...) 的弹簧力与气爪规格及总行程长度 l 的关系可以由下图确定。



活塞直径 $\varnothing 16 \dots 35$



活塞直径 $\varnothing 40 \dots 63$



确定实际弹簧力 F_{Stotal} 时, 必须把力臂长度 x 考虑在内。计算弹簧力的公式列于表中。

| 规格 | $F_{Stotal} =$ |
|----|--------------------------|
| 16 | $-0.2 * x + 0.8 * F_S$ |
| 20 | $-0.375 * x + 0.8 * F_S$ |
| 25 | $-0.25 * x + 0.8 * F_S$ |
| 35 | $-1 * x + 0.8 * F_S$ |
| 40 | $-0.9 * x + 0.8 * F_S$ |
| 50 | $-1.36 * x + 0.8 * F_S$ |
| 63 | $-2.2 * x + 0.8 * F_S$ |

确定HGPT-...-G1和HGPT-...-G2的实际抓取力 $F_{Grtotal}$ 取决于应用场合

带内置弹簧的T型沟槽气爪 HGPT-...-G1 (打开抓取力保持) 和 HGPT-...-G2 (合拢抓取力保持) 可用作:

- 单作用气爪
 - 具有补充抓取力的气爪
 - 具有保持抓取力的气爪
- 取决于不同要求。

为了计算有效抓取力 $F_{Grtotal}$ (每个气爪夹头), 抓取力 (F_G) 和弹簧力 (F_{Stotal}) 必须结合起来考虑。

应用

单作用

- 用弹簧力抓取:

$$F_{Grtotal} = F_{Stotal}$$

- 用压力抓取:

$$F_{Grtotal} = F_{Gr} - F_{Stotal}$$

补充抓取力

- 用压力和弹簧力抓取:

$$F_{Grtotal} = F_{Gr} + F_{Stotal}$$

保持抓取力

- 用弹簧力抓取:

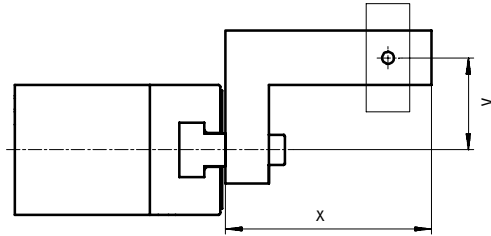
$$F_{Grtotal} = F_{Stotal}$$

T型沟槽气爪 HGPT

技术参数

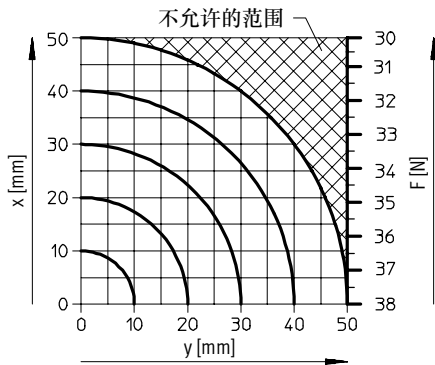
6 bar 时抓取力 F 与力臂长度 x 及偏心距 y 的关系

6bar时，不同规格产品的抓取力可由下图确定，抓取力的大小取决于偏心作用力和最大许用作用力偏心点。

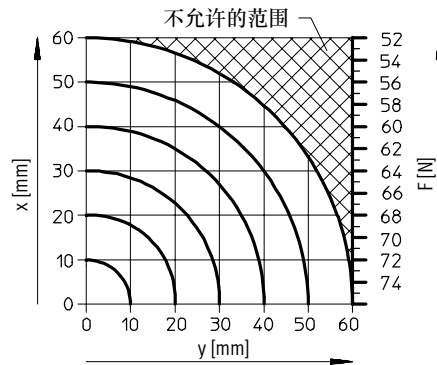


作为外部气爪：合拢时间

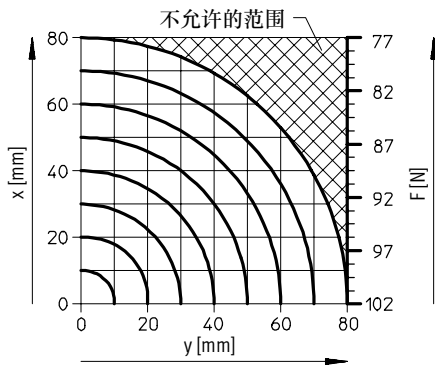
HGPT-16-A



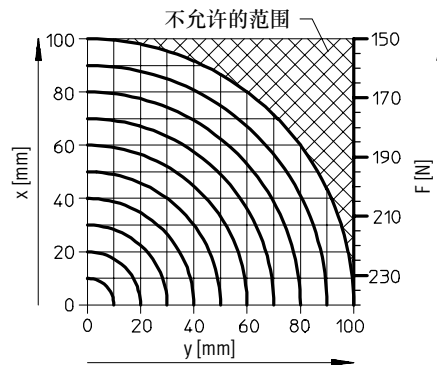
HGPT-20-A



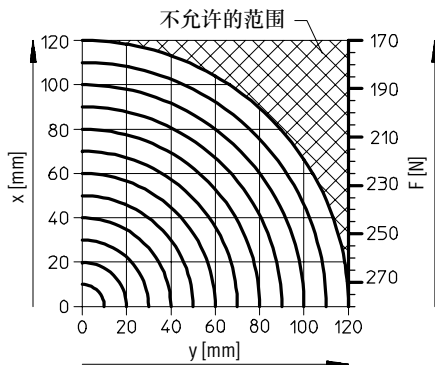
HGPT-25-A



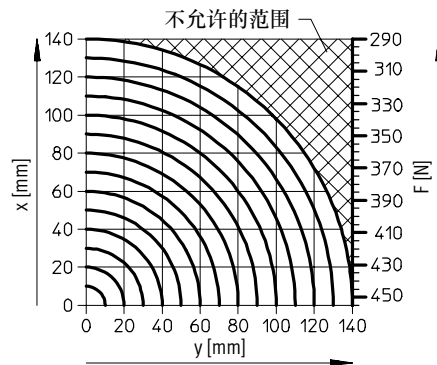
HGPT-35-A



HGPT-40-A



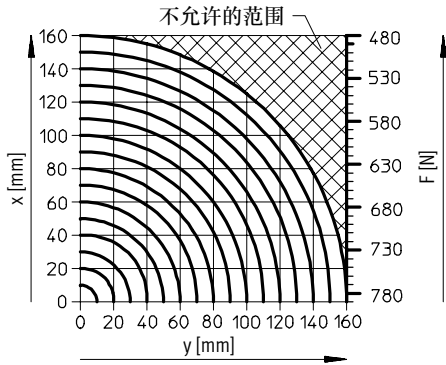
HGPT-50-A



T型沟槽气爪 HGPT

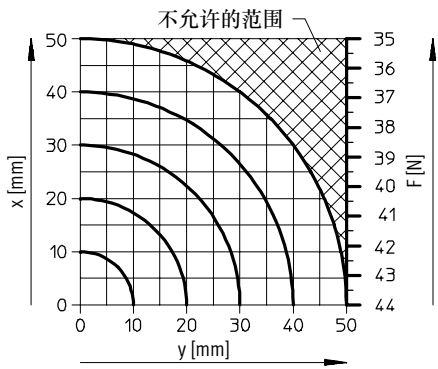
技术参数

HGPT-63-A

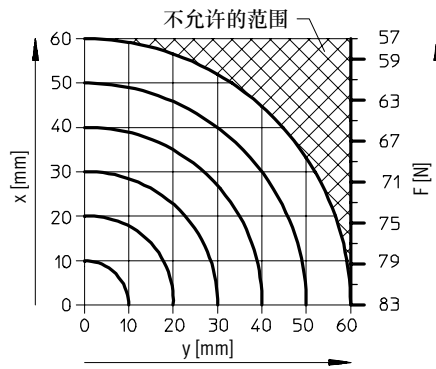


作为外部气爪: 打开操作

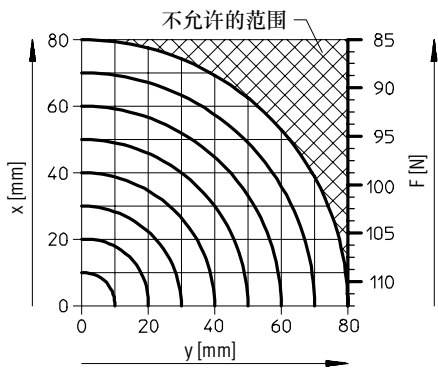
HGPT-16-A



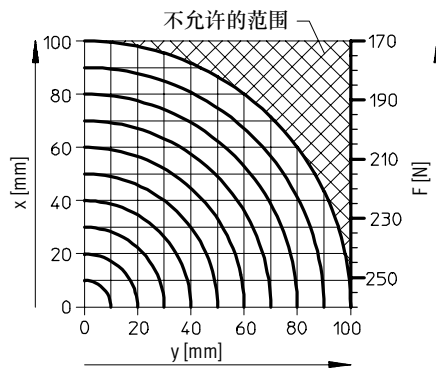
HGPT-20-A



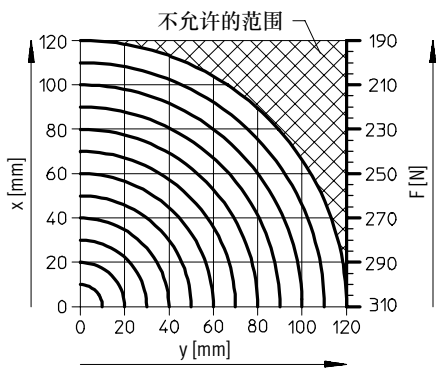
HGPT-25-A



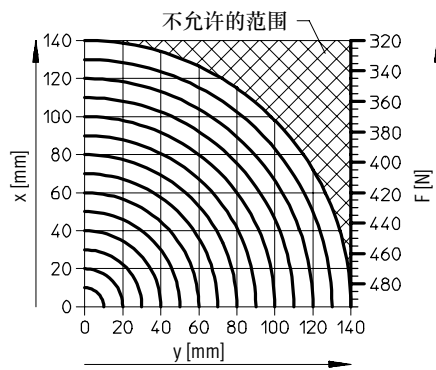
HGPT-35-A



HGPT-40-A



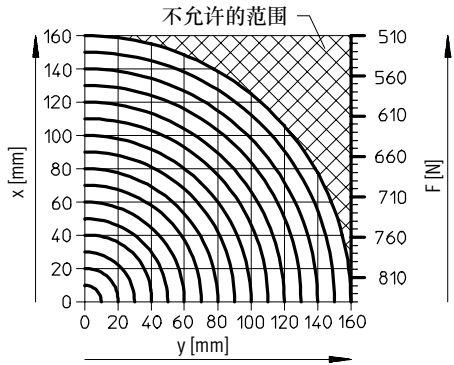
HGPT-50-A



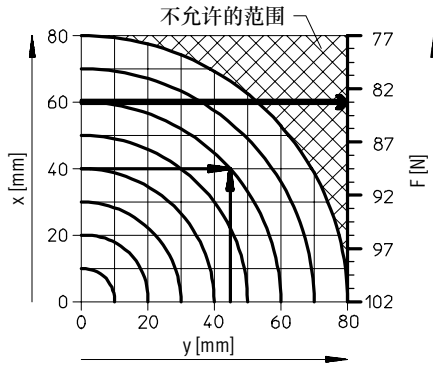
T型沟槽气爪 HGPT

技术参数

6 bar 时抓取力 F 与力臂长度 x 及偏心距 y 的关系
HGPT-63-A



计算示例

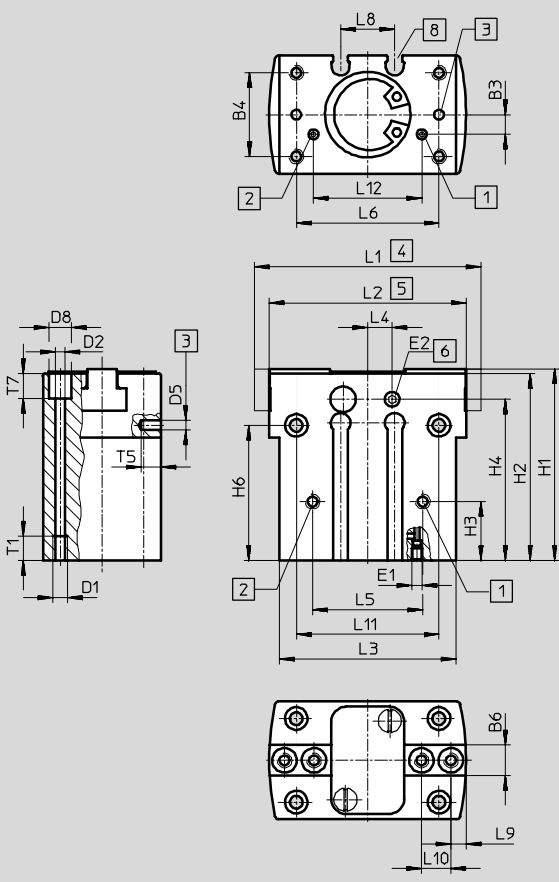


假设:
力臂 $x = 40 \text{ mm}$
偏心距 $y = 45 \text{ mm}$
求:
6 bar 时的抓取力
步骤:
■ 在 HGPT-25-A... 的图中确定力臂 x 和偏心距 y 的交点 xy

■ 过交点 xy 画一弧线 (通过起点的中心)
■ 确定弧线和 X 轴的交点
■ 读取抓取力
结果:
抓取力 $F = \text{约} 83 \text{ N}$

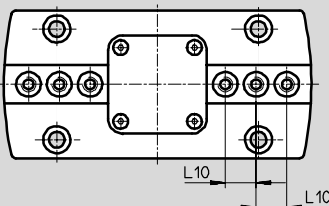
尺寸

下载 CAD 相关数据 → www.festo.com/en/engineering



- 1 气源接口打开，侧面或底面 (底面上的气接口在供货时为密封状态)
- 2 气源接口关闭，侧面或底面 (底面上的气接口在供货时为密封状态)
- 3 定位销孔 (定位销不包括在供货范围内)
- 4 气爪夹头打开
- 5 气爪夹头合拢
- 6 密封空气接口 (供货时密封)
- 7 定位套 ZBH
- 8 沟槽，用于接近传感器

HGPT-50/63...



T型沟槽气爪 HGPT

技术参数

FESTO

| ∅ | B1 ±0.05 | B3 ±0.1 | B4 ±0.1 | B6 -0.05 -0.1 | D1 | D2 ∅ | D3 ∅ H7/h7 | D4 | D5 ∅ H7 | D6 ∅ | D7 ∅ | D8 ∅ | EE |
|----|-------------|------------|------------|---------------------|----|---------|------------------|----|---------------|----------|---------|---------|-------------------------------|
| 16 | 24 | 4 | 17 | 6 | M3 | 2.6 | 5 | M3 | 2 | 4.6+0.1 | 2.6 | 4.6+0.1 | M3 |
| 20 | 28 | 7 | 22 | 6.5 | M4 | 3.2 | 5 | M3 | 3 | 6+0.2 | 3.2 | 6+0.2 | M3 |
| 25 | 36 | 10 | 27 | 10 | M5 | 4.2 | 7 | M4 | 4 | 8+0.3 | 4.2 | 8+0.3 | M5 |
| 35 | 42 | 9 | 32 | 12 | M5 | 4.2 | 9 | M6 | 4 | 10+0.3 | 5.3 | 8+0.3 | M5 |
| 40 | 50 | 13 | 38 | 14 | M6 | 5.1 | 9 | M6 | 5 | 11+0.3 | 6.4 | 9+0.3 | M5 |
| 50 | 60 | 14 | 45 | 15.5 | M8 | 6.4 | 9 | M6 | 6 | 13.5+0.3 | 8.4 | 11+0.3 | G ¹ / ₈ |
| 63 | 72 | 12 | 56 | 20 | M8 | 6.4 | 12 | M8 | 6 | 13.5+0.3 | 8.4 | 11+0.3 | G ¹ / ₈ |

| ∅ | E1 | E2 | H1 ±0.05 | H2 ±0.05 | H3 ±0.1 | H4 | H5 -0.3 | H6 ±0.02 ¹⁾ ±0.1 ²⁾ | L1 ±0.5 | L2 ±0.5 | L3 ±0.1 | L4 | L5 ±0.1 | L6 ±0.02 ¹⁾ ±0.1 ²⁾ |
|----|----|----|-------------|-------------|------------|------|------------|---|------------|------------|------------|-----|------------|---|
| 16 | M2 | M3 | 39 | 38 | 12 | 33.7 | 1.2 | 27.5 | 46 | 40 | 35.8 | 3.8 | 22.4 | 29 |
| 20 | M3 | M3 | 46 | 45 | 15 | 37 | 1.2 | 24 | 58 | 50 | 44 | 0 | 28 | 35 |
| 25 | M3 | M5 | 57 | 56 | 20 | 46 | 1.4 | 34 | 76 | 64 | 52 | 0 | 28 | 42 |
| 35 | M4 | M5 | 67 | 66 | 28 | 53 | 1.9 | 38 | 96 | 80 | 64 | 0 | 40 | 52 |
| 40 | M5 | M5 | 83 | 82 | 36 | 68 | 1.9 | 53 | 120 | 100 | 80 | 0 | 48 | 66 |
| 50 | M5 | M5 | 97 | 96 | 30 | 78 | 1.9 | 61 | 149 | 125 | 100 | 0 | 56 | 82 |
| 63 | M5 | M5 | 117 | 116 | 26 | 92 | 2.4 | 67 | 192 | 160 | 125 | 0 | 74 | 100 |

| ∅ | L7 ±0.02 | L8 +0.1 | L9 ±0.02 ¹⁾ ±0.1 ²⁾ | L10 ±0.02 ¹⁾ ±0.1 ²⁾ | L11 ±0.1 | L12 ±0.1 | T1 最小 | T2 +0.1 | T3 最小 | T4 最小 | T5 最小 | T6 | T7 +0.2 |
|----|-------------|------------|---|--|-------------|-------------|----------|------------|----------|----------|----------|----|------------|
| 16 | 20 | 11 | 3 | 6 | 29 | 22 | 5 | 1.3 | 4 | 5 | 4 | 15 | 24 |
| 20 | 24 | 18 | 4 | 8 | 35 | 24 | 6 | 1.3 | 4 | 5 | 4 | 19 | 11 |
| 25 | 20 | 17 | 5 | 12 | 42 | 28 | 10 | 1.6 | 4 | 5 | 4 | 24 | 16 |
| 35 | 40 | 24 | 6 | 15 | 52 | 40 | 10 | 2.1 | 6 | 10 | 4 | 27 | 19 |
| 40 | 50 | 32 | 10 | 18 | 66 | 44 | 12 | 2.1 | 6 | 10 | 6 | 33 | 20 |
| 50 | 60 | 32 | 10 | 12.5 | 82 | 56 | 12 | 2.1 | 8 | 10 | 8 | 43 | 23 |
| 63 | 76 | 34 | 10 | 18 | 100 | 70 | 12 | 2.6 | 10 | 12 | 10 | 55 | 35 |

- 1) 用于定位
2) 用于通孔

T型沟槽气爪 HGPT

技术参数和附件

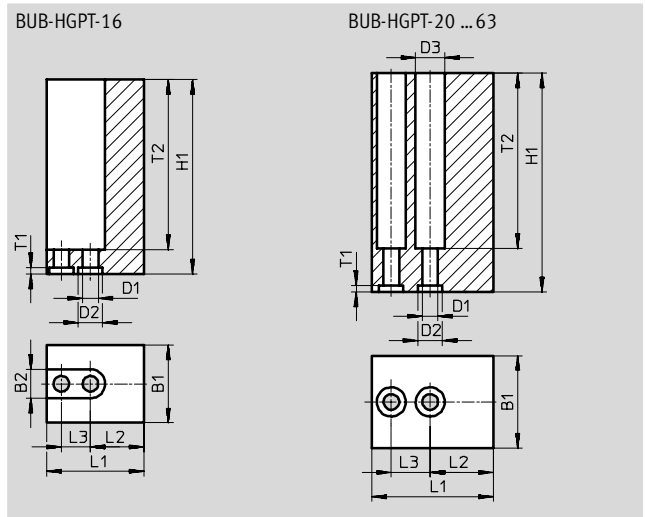
订货数据

| 活塞直径 \varnothing [mm] | 双作用 不带压缩弹簧 代号 型号 | | 单作用或带抓取力保持 打开 代号 型号 | | 合拢 代号 型号 | |
|----------------------------|------------------------|-----------|---------------------------|--------------|--------------|--------------|
| | 16 | 535 858 | HGPT-16-A | 535 859 | HGPT-16-A-G1 | 535 860 |
| 20 | 535 861 | HGPT-20-A | 535 862 | HGPT-20-A-G1 | 535 863 | HGPT-20-A-G2 |
| 25 | 535 864 | HGPT-25-A | 535 865 | HGPT-25-A-G1 | 535 866 | HGPT-25-A-G2 |
| 35 | 535 867 | HGPT-35-A | 535 868 | HGPT-35-A-G1 | 535 869 | HGPT-35-A-G2 |
| 40 | 535 870 | HGPT-40-A | 535 871 | HGPT-40-A-G1 | 535 872 | HGPT-40-A-G2 |
| 50 | 535 873 | HGPT-50-A | 535 874 | HGPT-50-A-G1 | 535 875 | HGPT-50-A-G2 |
| 63 | 535 876 | HGPT-63-A | 535 877 | HGPT-63-A-G1 | 535 878 | HGPT-63-A-G2 |

附件

未加工的气爪手指

材料:
铝



尺寸和订货数据

| 适用直径 \varnothing [mm] | B1 | B2 | D1 \varnothing H13 | D2 \varnothing H8 | D3 \varnothing +0.22 | H1 ± 0.05 | L1 ± 0.05 |
|----------------------------|----|----|----------------------------|---------------------------|------------------------------|------------------|------------------|
| 16 | 16 | 6 | 3.2 | 5 | - | 40 | 20 |
| 20 | 19 | - | 3.2 | 5 | 6 | 45 | 25 |
| 25 | 24 | - | 4.3 | 7 | 8 | 60 | 32 |
| 35 | 28 | - | 6.4 | 9 | 11 | 70 | 40 |
| 40 | 34 | - | 6.4 | 9 | 11 | 75 | 50 |
| 50 | 40 | - | 6.4 | 9 | 11 | 100 | 62.5 |
| 63 | 50 | - | 8.4 | 12 | 13.5 | 120 | 80 |

| 适用直径 \varnothing [mm] | L2 $\pm 0.02^{1)}$ $\pm 0.1^{2)}$ | L3 $\pm 0.01^{1)}$ $\pm 0.1^{1)}$ | T1 +0.1 | T2 | 重量 [g] | 代号 型号 |
|----------------------------|---|---|------------|-----|-----------|---------------------|
| 16 | 11 | 6 | 1.3 | 35 | 28 | 537 198 BUB-HGPT-16 |
| 20 | 13 | 8 | 1.3 | 36 | 53 | 537 199 BUB-HGPT-20 |
| 25 | 15 | 12 | 1.6 | 51 | 112 | 537 200 BUB-HGPT-25 |
| 35 | 19 | 15 | 2.1 | 61 | 182 | 537 201 BUB-HGPT-35 |
| 40 | 22 | 18 | 2.1 | 71 | 312 | 537 202 BUB-HGPT-40 |
| 50 | 27.5 | 25 | 2.1 | 91 | 638 | 537 203 BUB-HGPT-50 |
| 63 | 34 | 36 | 2.6 | 110 | 1 230 | 537 204 BUB-HGPT-63 |

1) 用于定位
2) 用于通孔

T型沟槽气爪 HGPT

附件

FESTO

| 订货数据 | | 技术参数 → 1/10.1-3 | | | |
|---|----------------|-----------------|---------|---------|------------------|
| | 适用直径 Ø [mm] | 重量 [g] | 代号 | 型号 | PU ¹⁾ |
| 定位套 | | | | | |
|  | 16, 20 | 1 | 189 652 | ZBH-5 | 10 |
| | 25 | 1 | 186 717 | ZBH-7 | 10 |
| | 35, 40, 50 | 1 | 150 927 | ZBH-9 | 10 |
| | 63 | 1 | 189 653 | ZBH-12 | 10 |
| 堵头 | | | | | |
|  | 16, 20 | 0.6 | 30 979 | B-M3-S9 | 10 |
| | 25, 35, 40 | 1 | 174 308 | B-M5-B | 10 |
| | 50, 63 | 5 | 3 568 | B-1/8 | 10 |

1) 包装单元内的数量

| 订货数据 - 接近传感器, 用于 10号槽, 抗磁性 | | | | | | 技术参数 → 1/10.2-47 | | |
|---|-------|------|-----|------|-------------|------------------|---------|--------------------------|
| | 安装型式 | 开关输出 | 电接口 | | 电缆长度 [m] | 连接方向 | 代号 | 型号 |
| | | | 电缆 | 插头M8 | | | | |
| 常开触点 | | | | | | | | |
|  | 从上面插入 | PNP | 3芯 | - | 2.5 | 轴向 | 525 915 | SMT-10F-PS-24V-K2,5L-OE |
| | | | - | 3针 | 0.3 | 轴向 | 525 916 | SMT-10F-PS-24V-K0,3L-M8D |
| | | | - | 3针 | 0.3 | 横向 | 526 675 | SMT-10F-PS-24V-K0,3Q-M8D |
|  | 从终端插入 | PNP | - | 3针 | 0.3 | 轴向 | 173 220 | SMT-10-PS-SL-LED-24 |
| | | | 3芯 | - | 2.5 | 轴向 | 173 218 | SMT-10-PS-KL-LED-24 |

| 订货数据 - 接近传感器, 用于 10号槽, 磁性舌簧 | | | | | | 技术参数 → 1/10.2-50 | | |
|---|-------|-----|------|-------------|------|------------------|--------------------------|--|
| | 安装型式 | 电接口 | | 电缆长度 [m] | 连接方向 | 代号 | 型号 | |
| | | 电缆 | 插头M8 | | | | | |
| 常开触点 | | | | | | | | |
|  | 从上面插入 | - | 3针 | 0.3 | 轴向 | 525 914 | SME-10F-DS-24V-K0,3L-M8D | |
| | | 3芯 | - | 2.5 | 轴向 | 525 913 | SME-10F-DS-24V-K2,5L-OE | |
| | | 2芯 | - | - | - | 526 672 | SME-10F-ZS-24V-K2,5L-OE | |
|  | 从终端插入 | 3芯 | - | 0.3 | 轴向 | 173 212 | SME-10-SL-LED-24 | |
| | | - | 3针 | 2.5 | 轴向 | 173 210 | SME-10-KL-LED-24 | |

| 订货数据 - 插座 | | | | | | 技术参数 → 1/10.2-108 | | |
|---|--------------|------|-----|----|-------------|-------------------|-------------------|--|
| | 安装型式 | 开关输出 | | 接口 | 电缆长度 [m] | 代号 | 型号 | |
| | | PNP | NPN | | | | | |
| 直列式插座 | | | | | | | | |
|  | 使用锁紧螺母 M8 | ■ | ■ | 3针 | 2.5 | 159 420 | SIM-M8-3GD-2,5-PU | |
| | | ■ | ■ | 3针 | 5 | 159 421 | SIM-M8-3GD-5-PU | |
| 直角式插座 | | | | | | | | |
|  | 使用锁紧螺母 M8 | ■ | ■ | 3针 | 2.5 | 159 422 | SIM-M8-3WD-2,5-PU | |
| | | ■ | ■ | 3针 | 5 | 159 423 | SIM-M8-3WD-5-PU | |

 核心产品

